

длении \mathcal{P}_a в более коротковолновой области необходимо изготавливать более тонкую пластину, то для получения спектральной зависимости \mathcal{P}_i^E вплоть до 2.2 эВ этого не требуется. Такие результаты легко получаются из поляризационных измерений фототока гетероструктуры (рис. 1). Отсутствие инверсии знака \mathcal{P}_i^E в глубине фундаментального поглощения указывает на достаточно высокое совершенство гетерограницы [6]. Подчеркнем, что по величине максимальных значений \mathcal{P}_i^E и \mathcal{P}_a кристалл $MnIn_2Te_4$ оказывается близким к прямозонным соединениям II—IV—V₂ с высоким тетрагональным сжатием [6]. Наряду с гетероструктурами SnO_2 — $MnIn_2Te_4$ была предпринята попытка также создать структуру с инверсией знака фототока (ИЗФ), позволяющую существенно увеличить фотоэлектрическую анизотропию [6]. С этой целью были изготовлены структуры SnO_2 — $MnIn_2Te_4$ —Cu, типичный спектр фоточувствительности которых приведен на рис. 2 (кривая 7). Характерной особенностью таких структур при освещении со стороны SnO_2 является ИЗФ, обусловленная неэквивалентным сориентированием фотогенерированных носителей встречно направленными электрическими полями двух различных потенциальных барьеров. В результате ИЗФ достигнуто резкое возрастание коэффициента фотоплеохроизма $|\mathcal{P}_i| \rightarrow \infty$ (рис. 1, кривая 5), причем спектральное положение точки инверсии фототока легко изменяется посредством внешнего электрического напряжения, прикладываемого к структуре.

Представленные результаты указывают на возможность применения оптической анизотропии монокристаллов $MnIn_2Te_4$ при создании устройств поляризационной фотоэлектроники.

Л и т е р а т у р а

- [1] Бабаева Б. К. — В кн.: Тройные полупроводники и их применение. Кишинев, 1979, с. 96.
- [2] Бекимбетов Р. Н., Рудь Ю. В., Таиров М. А. — ФТП, 1987, т. 21, в. 10, с. 1916—1918.
- [3] Range K.-J., Hubner H.-J. — Z. Naturforsch., 1975, v. 30b, p. 145—148.
- [4] Бекимбетов Р. Н., Войполин А. А., Медведкин Г. А., Прозухан В. Д., Рудь Ю. В., Таиров М. А. — Письма ЖТФ, 1987, т. 13, в. 17, с. 1040—1043.
- [5] Рудь Ю. В. — Изв. вузов СССР, Физика, 1986, № 8, с. 68—83.

Физико-технический институт
им. А. Ф. Иоффе АН СССР
Ленинград

Получено 19.10.1987
Принято к печати 13.11.1987

ФТП, том 22, вып. 6, 1988

НЕДИССИПАТИВНЫЕ ТЕРМОМАГНИТНЫЕ ЯВЛЕНИЯ В ПОЛУПРОВОДНИКОВЫХ СВЕРХРЕШЕТКАХ В КВАНТУЮЩЕМ МАГНИТНОМ ПОЛЕ

Аскеров Б. М., Гашимзаде Н. Ф., Кулиев Б. И., Панахов М. М.

Из термомагнитных явлений магнитотермоэдс и эффект Риги—Ледюка в сильном поперечном магнитном поле являются недиссипативными, т. е. не зависят от механизма релаксации и определяются только законом дисперсии носителей тока [1]. Теория этих явлений в сильном квантующем магнитном поле в массивных образцах была развита авторами работ [2, 3].

В настоящей работе вышеизложенные термомагнитные явления рассмотрены в полупроводниковых сверхрешетках (СР) при наличии квантующего магнитного поля, направленного по оси СР, т. е. перпендикулярно слоям. Ранее эта задача нами была решена в сильном, но неквантующем магнитном поле [4], и данная работа является ее естественным продолжением. Отметим, что влияние квантования движения носителей тока в плоскости СР было учтено в [5] при вычислении магнитотермоэдс только в одноминизонном приближении.

Нами же рассмотрен более общий случай в теории магнитотермоэдс и эффекта Риги—Ледюка в СР. Получены зависимости эффектов от магнитного поля и температуры в произвольном сильном магнитном поле для невырожденного электронного газа. Показано, что квантование приводит к увеличению термоэдс и уменьшению эффекта Риги—Ледюка. В случае сильного вырождения термоэдс определяется плотностью состояний в СР.

Если ось Z и квантующее магнитное поле H направить вдоль оси СР, то для модели, рассматриваемой в [4], спектр электронов проводимости имеет вид¹

$$\epsilon(H, k_z) = \epsilon_{v,l} - \Delta_{v,l} \cos k_z d, \quad \epsilon_{v,l} = \epsilon_v + \epsilon_l. \quad (1)$$

Здесь $\epsilon_l = \hbar\Omega(l + 1/2)$, $l = 0, 1, 2, 3, \dots$ — магнитные уровни Ландау; $\Omega = eH/mc$ — циклотронная частота; m — эффективная масса носителей; $\epsilon_v = (\hbar^2/2m)(\pi/d_0)^2 v^2$, $v = 1, 2, 3, \dots$ — размерно-квантованные уровни в изолированной пленке толщиной d_0 ; $d = d_0 + d_1$ — период, d_1 — толщина барьераных слоев СР, причем $d_1 \ll d_0$, т. е. $d \approx d_0$; $\Delta_{v,l}$ — полуширина мини-зон. Как видно из (1), в пределах каждой мини-зоны энергия непрерывно меняется в интервале $\epsilon_{v,l} - \Delta_{v,l} \leq \epsilon \leq \epsilon_{v,l} + \Delta_{v,l}$.

Можно показать, что плотность состояний, соответствующая спектру (1), определяется выражением [6]

$$g(\epsilon) = \sum_{v,l} g_{v,l}(\epsilon) \Theta(\epsilon - \epsilon_{v,l} + \Delta_{v,l}) \Theta(\epsilon_{v,l} + \Delta_{v,l} - \epsilon), \quad (2)$$

где

$$g_{v,l}(\epsilon) = (\pi^2 R^2 d)^{-1} [\Delta_{v,l}^2 - (\epsilon_{v,l} - \epsilon)^2]^{-1/2}; \quad (3)$$

$\Theta(x)$ — ступенчатая функция; $\Theta(x) = 1$ при $x > 0$, $\Theta(x) = 0$ при $x < 0$; $R = (\hbar c/eH)^{1/2}$ — магнитная длина. Тогда для концентрации электронов получим

$$n = (\pi R^2 d)^{-1} \sum_{v,l} \left\{ f_0 (\epsilon_{v,l} + \Delta_{v,l}) + \int_{\epsilon_{v,l} - \Delta_{v,l}}^{\epsilon_{v,l} + \Delta_{v,l}} B_{v,l}(\epsilon) \left(-\frac{\partial f_0}{\partial \epsilon} \right) d\epsilon \right\}, \quad (4)$$

где

$$B_{v,l}(\epsilon) = \frac{1}{\pi} \arccos \left(\frac{\epsilon_{v,l} - \epsilon}{\Delta_{v,l}} \right), \quad 0 \leq B_{v,l} \leq 1. \quad (5)$$

В случае сильного вырождения $\zeta = (\epsilon_{1,0} - \Delta_{1,0}) > k_0 T$ концентрация n представляет собой полное число состояний G , расположенных ниже уровня Ферми ζ :

$$n = G(\zeta) = (\pi R^2 d)^{-1} \sum_{v=1}^v [L + B_{v,L}(\zeta) \Theta(\zeta - \epsilon_{v,L} + \Delta_{v,L}) \Theta(\epsilon_{v,L} + \Delta_{v,L} - \zeta)]. \quad (6)$$

Здесь v_0 и $L = L(v)$ определяются из условий

$$\epsilon_{v_0-1,0} + \Delta_{v_0-1,0} \leq \zeta \leq \epsilon_{v_0,0} + \Delta_{v_0,0}; \quad \epsilon_{v,L-1} + \Delta_{v,L-1} \leq \zeta \leq \epsilon_{v,L} + \Delta_{v,L}. \quad (7)$$

Если электронный газ не вырожден $\exp\{[\zeta - (\epsilon_{1,0} - \Delta_{1,0})]/k_0 T\} \ll 1$, то из (4) находим

$$n = (x/\sinh x) n_0 \sum_v e^{\eta - \epsilon_v^*} I_0(\Delta_v^*), \quad (8)$$

где

$$n_0 = \frac{mk_0 T}{\pi \hbar^2 d}, \quad x = \frac{\hbar\Omega}{2k_0 T}, \quad \eta = \frac{\zeta}{k_0 T}, \quad \epsilon_v^* = \frac{\epsilon_v}{k_0 T}, \quad \Delta_v^* = \frac{\Delta_v}{k_0 T}; \quad (9)$$

$I_0(\Delta_v^*)$ — модифицированная функция Бесселя нулевого порядка.

При выводе (8) мы предположили, что полуширина мини-зон не зависит от магнитного квантового числа l . Отметим, что и в дальнейшем в некоторых конкретных случаях будем использовать такое же предположение.

¹ Спиновым расщеплением пренебрегаем.

В сильном магнитном поле поперечная термоэдс определяется средней энергией [4]. Если при усреднении использовать функцию плотности состояний (2), то для термоэдс в квантующем магнитном поле получим

$$\alpha = -\frac{1}{eT} \left\{ \frac{1}{n\pi R^2 d} \sum_{v,l} \left[\int_{\epsilon_{v,l}-\Delta_{v,l}}^{\epsilon_{v,l}+\Delta_{v,l}} B_{v,l}(\epsilon) \epsilon \left(-\frac{\partial f_0}{\partial \epsilon} \right) d\epsilon + \int_{\epsilon_{v,l}+\Delta_{v,l}}^{\infty} \epsilon \left(-\frac{\partial f_0}{\partial \epsilon} \right) d\epsilon \right] - \zeta \right\}. \quad (10)$$

Когда электронный газ сильно вырожден, из (10) находим

$$\alpha = -\frac{\pi^2}{3} \frac{k_0^2 T}{en} g(\zeta). \quad (11)$$

Исключая ζ из (6) и (11), можно построить зависимость $\alpha(n, H)$, которая должна иметь корневую особенность на краях мини-зон. Если $\hbar\Omega < \epsilon_{1,0}$, т. е. $H < \pi^2 \hbar c / ed_0^2$, можно ограничиться лишь одной мини-зоной ($v=1$), тогда из (2), (4), (5), (6) и (11) легко получим выражение для термоэдс

$$\alpha = -(\pi k_0^2 T / 3e\Delta) [(L + B) \sin(\pi B)]^{-1}, \quad \Delta = \Delta_1, \quad B = B_{1,L}, \quad (12)$$

которое совпадает с результатом работы [5].

Для невырожденного электронного газа (10) дает

$$\alpha(n, H) = \alpha_{\text{кв}} - (k_0/e) [x \coth x - 1 - \ln(\sinh x/x)]. \quad (13)$$

Здесь $\alpha_{\text{кв}}(n)$ — термоэдс в СР с невырожденным электронным газом в классически сильных магнитных полях (см. формулу (21) в [4]). Вклад квантующего поля обращается в нуль по закону $\sim x^2/3$ при $x \rightarrow 0$ (переход к неквантующим H) и растет как $\ln 2x$ при $x \gg 1$. Следовательно, в квантовом пределе термоэдс логарифмически растет с ростом магнитного поля.

Эффект Риги—Ледюка характеризуется коэффициентом $S = -\nabla_y T / H \nabla_x T$. В сильном магнитном поле этот коэффициент, как известно, определяется средней и среднеквадратичной энергиями [4]. Если при усреднении использовать плотность состояний (2), то для S в произвольном квантующем H получим

$$S = \frac{cn}{eH^2 x_\phi T} \left\{ \frac{1}{n\pi R^2 d} \sum_{v,l} \left[\int_{\epsilon_{v,l}-\Delta_{v,l}}^{\epsilon_{v,l}+\Delta_{v,l}} B_{v,l}(\epsilon) \epsilon^2 \left(-\frac{\partial f_0}{\partial \epsilon} \right) d\epsilon + \int_{\epsilon_{v,l}+\Delta_{v,l}}^{\infty} \epsilon^2 \left(-\frac{\partial f_0}{\partial \epsilon} \right) d\epsilon \right] - \left(\frac{1}{n\pi R^2 d} \sum_{v,l} \left[\int_{\epsilon_{v,l}-\Delta_{v,l}}^{\epsilon_{v,l}+\Delta_{v,l}} B_{v,l}(\epsilon) \epsilon \left(-\frac{\partial f_0}{\partial \epsilon} \right) d\epsilon + \int_{\epsilon_{v,l}+\Delta_{v,l}}^{\infty} \epsilon \left(-\frac{\partial f_0}{\partial \epsilon} \right) d\epsilon \right] \right)^2 \right\}, \quad (14)$$

где x_ϕ — фононная часть теплопроводности.

В первом неисчезающем приближении по вырождению находим

$$S = (\pi^2/3) S_0, \quad S_0 = (ecn/H^2 x_\phi) (k_0/e)^2 T. \quad (15)$$

Отметим, что это выражение общее и не зависит от вида спектра, следовательно, эффект определяется только концентрацией электронов проводимости n .

Когда электронный газ в СР не вырожден, то из (14) имеем

$$S(H) = S_{\text{кв}} - S_0 [1 - (x/\sinh x)^2], \quad (16)$$

где $S_{\text{кв}}$ — коэффициент Риги—Ледюка в СР в сильном неквантующем поле (см. (29) в [4]). Выражение в квадратных скобках в (16) обращается в нуль как $\sim x^2/3$ при $x \rightarrow 0$ и стремится к единице при $x \gg 1$. Следовательно, с ростом квантуующего магнитного поля коэффициент Риги—Ледюка уменьшается и при $x \gg 1$ приближается к минимальному значению $S_{\min} = S_{\text{кв}} - S_0$.

Л и т е р а т у р а

[1] Аскеров Б. М. Электронные явления переноса в полупроводниках. М., 1985. 320 с.

[2] Аскеров Б. М., Эминов Р. Ф. — ФТП, 1974, т. 8, в. 5, с. 950—953.

[3] Аскеров Б. М., Джадаров М. И., Эминов Р. Ф. — ФТП, 1987, т. 21, в. 2, с. 372—375.

- [4] Аскеров Б. М., Гашимзаде Н. Ф., Панахов М. М. — ФТП, 1987, т. 29, в. 3, с. 818—824.
[5] Lyo S. K. — Phys. Rev. B, 1984, v. 30, N 6, p. 3257—3260.
[6] Луцкий В. Н., Каганов М. И., Шик А. Я. — ЖЭТФ, 1987, т. 92, в. 2, с. 721—729.

Азербайджанский государственный
университет им. С. М. Кирова
Баку

Получено 20.07.1987
Принято к печати 25.11.1987

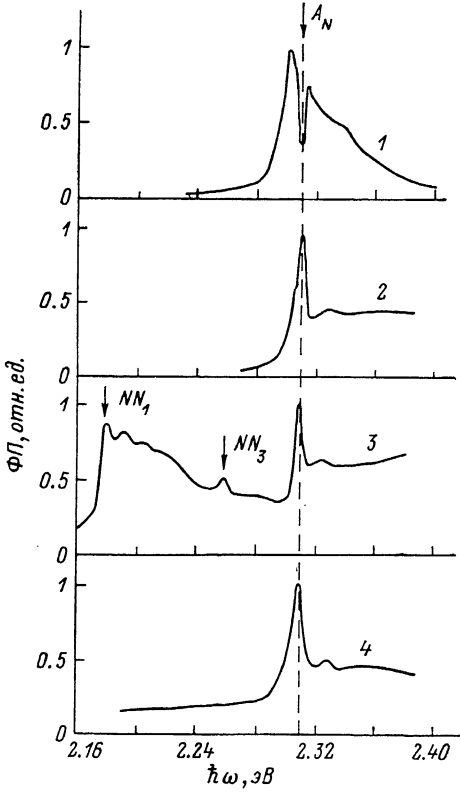
ФТП, том 22, вып. 6, 1988

ФОТОЭФФЕКТ, ИНДУЦИРОВАННЫЙ ЭФФЕКТОМ ШТАРКА НА СВЯЗАННОМ ЭКСИТОНЕ В GaP : N

Пихтин А. Н., Попов В. А., Юнис М.

В [1, 2] сообщалось о наблюдении «аномального» фотоэффекта на связанных на изоэлектронных ловушках экситонах в GaP(N)—*p*—*n*-переходах. Эти результаты указывали на эффективную передачу возбуждения связанными экситонами на расстояние более 10 мкм, что впоследствии было подтверждено в [3]. В настоящей работе, являющейся продолжением [1, 2], впервые сообщается об экспериментальном наблюдении в полупроводниках фотоэффекта, вызванного распадом экситона, связанного на изоэлектронной ловушке, в поле заряженных примесей.

Измерения фотопроводимости, выполненные нами при $T=40\div80$ К на эпитаксиальных слоях фосфида галлия, полученных химическим осаждением из газовой фазы, показали следующее. В образцах *n*-типа, легированных теллуром или серой до $N_D=(0.6\div6)\cdot10^{17}$ см $^{-3}$ и азотом до $N_N=4\cdot10^{18}$ см $^{-3}$ на фоне



Спектры фотопроводимости при $T=77$ К эпитаксиальных слоев фосфида галлия, легированных азотом ($N_N=4\cdot10^{18}$ см $^{-3}$).

1, 4 — некомпенсированные образцы до диффузии меди; 2 — слабо компенсированные ($T_{\text{дифф}}=513$ °C), 3 — сильно компенсированные ($T_{\text{дифф}}=675$ °C) медью образцы. Толщина эпитаксиальных слоев, мкм: 1—3 — 40; 4 — 5. A_N — бесфоновая линия экситона, связанного на одиночных атомах азота; NN_1 , NN_3 — линии экситонов, связанных на парах атомов азота.

примесной фотопроводимости в области хорошо известной A_N -линии экситона, связанного на одиночном атоме азота в GaP, наблюдался узкий «провал» (см. рисунок, кривая 1). Это однозначно указывало на наличие нефотоактивного поглощения в области A_N -линии. В то же время на некоторых образцах в этой области был обнаружен сильный фотоответ. Анализ этого явления показал, что оно может быть вызвано распадом связанного на азоте экситона в поле заряженных примесей. Для проверки этого предположения была проведена серия измерений на образцах, компенсированных медью путем диффузии.